

固定アーチの設計法について

○東北大学 学生員 前田 義裕
東北大学 正員 舟田 茂

1. まえがき

鋼アーチの設計法に関して、現行の道路橋示方書では、有効座屈長に基く強度照査を規定しているが、同時に変形の影響を考慮しなければならない荷重の限界を示している。

固定アーチの終局強度設計においては、終局荷重はこの定められた荷重の限界を越えてしまい、変形とこれによる塑性化の影響を考慮しなければならない。そこで、この変形の影響を考慮した固定アーチの設計法として、弾性2次解析の結果から固定アーチの設計を行なう方法を検討し、これについての結果を報告する。

2. 解析方法

有限要素法を用い、終局強度解析では、材料の非線形性と幾何学的非線形性を考慮し、弾性2次解析では、幾何学的非線形性を考慮した。

3. 解析モデル

解析したアーチは、Fig.1に示すような放物線固定アーチである。載荷荷重は非対称とし、Fig.1中のSを0.5, 0.75, 0.88と変化させた。またこのようなモデルでは、端部に大きな断面が生じるので、端部から3/18点まで断面を増加させた変断面アーチとし、この部分に降伏応力値の高い鋼材を用いたハイアリットアーチについても、強度特性及び設計法について検討した。尚、ハイアリットアーチの端部以外で、鋼材の σ_y は 3200 kg/cm^2 であり、ハイアリットアーチの端部は $\sigma_y = 4600 \text{ kg/cm}^2$ である。

4. 結果と考察

等断面固定アーチにFig.1に示すような載荷をした場合の終局強度は、すでに文献1等 すでに明らかにされていて、ここでは、弾性2次解析について述べる。これらのアーチの弾性2次解析を行なうと、材料の塑性化の影響を考慮せねばならぬため、載荷荷重が終局荷重の60%程度より大きくなると、終局強度解析結果よりも小さな変形の値を得る。またここで残留応力の影響を見ると、残留応力を考慮しないで行なった終局強度解析では、塑性化の影響が現れるのが、載荷荷重の終局荷重に対する割合が80~90%となる時からとなる。Fig.2に、それなりの解析での荷重-変形曲線の例を示す。荷重は終局荷重 q_F で無次元化し、変形は、最大たわみを上で無次元化して示した。尚、残留応力はSが大きいモデルで終局強度に大きく影響を及ぼす。

これらを考慮して、弾性2次解析の結果に基づく設計法を検討する。固定アーチに非対称に載荷を行なうと、大きな断面が生じるのは、両固

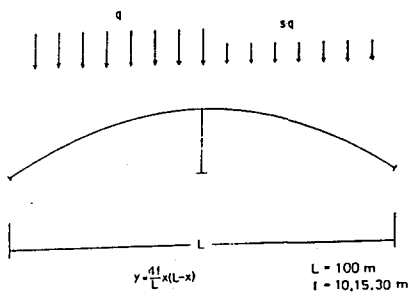


Fig.1 解析モデル

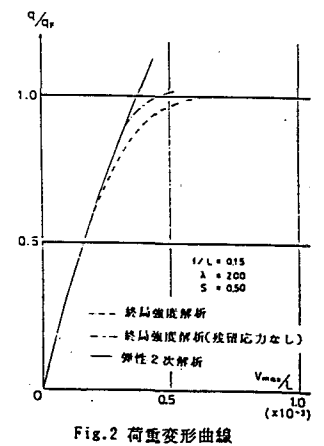


Fig.2 荷重変形曲線

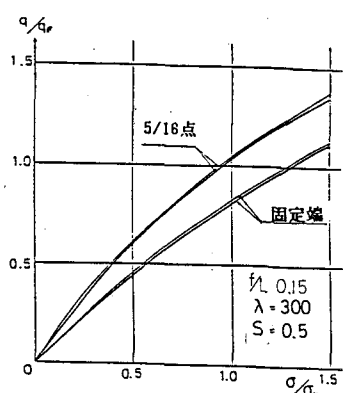


Fig.3 着目点の緑応力度

定端及び端部から $5/16 L$ の点の 4 点である。従つて、弾性 2 次解析によつて得られるこれらの点の緯応力度に着目し、4 点中の 3 点で緯応力度が η の以上となる時、ほぼモデル終局状態であるとする。しかし、この方法より得られる終局荷重は、弾性 2 次解析で得られるアーチの軸力が大きい場合には、危険側の値となる。そこで、ここで仮定した終局状態でアーチに生じているアーチの軸力 平均値を N_{p} で無次元化した値、 \bar{N} を用いて以下のようないずれか 3 点目に緯応力度が η のに達する点の緯応力度の限界を η_{lim} に低減し、この点の緯応力度が η_{lim} に達した時に、終局状態であるとする。(入: 細長比パラメータ)

$$\sigma_{\text{cr}} = \sigma_y \{ 1 - (\beta \bar{N})^2 \}$$

補正を行う \bar{N} の限界

\bar{N}	1.24	2.48	3.73
\bar{N}	0.70	0.40	0.20

(ただし、中間の値に用いては直線的に補間する)

η の値

\bar{N}	1.24	2.48	3.73
\bar{N}	0.32	0.40	1.00

また、4つの着目点うち 1 点あるいは 2 点で緯応力度が η のより大きくなつた時でも、 \bar{N} が次に示す値より大きければ、アーチはすでに終局状態に至つてしまふと考え、前述の補正を行う。さらに

特別な例として、入が小さいモデルで、端部に下部変形が全スパンにわたり下側に生

じる場合は、Fig. 1 で左側の 2 点の着目点で緯応力度が η の以上となる荷重の $5/4$ 倍の値を終局荷重とする。以上の設計法で得られるアーチの強度の、実際の終局強度に対する比を Table 1 に示す。この設計法により求められるアーチの強度は、設計の基準として用いるには良い精度であろうと考えられる。

次に、端部でフランジ厚を大きくした変断面アーチについて、フランジ厚を 1.5 倍として行った終局強度解析の結果を Fig. 4 に示す。荷重は、アーチの各節点に同じ大きさの集中荷重を施す時に、スプリッギングが軸力の方で降伏するよう引張直荷重 $8N$ で無次元化した。端部の剛性が大きくなる効果に入が小さく変形が大きいモデルに大きく現れ、強度の増加率が大きくなる。

また、端部で大きなモーメントが生じるが小さいモデルでも、強度の増加率が大きくなる。これらのアーチで前に述べた設計法により求めたアーチの強度の、実際の終局強度に対する比を、Table 2 に示す。

最後に、ハイブリッドアーチの終局強度解析の結果を Fig. 5 に示す。ハイブリッドアーチでは、 S が小さいケースで、端部で降伏応力度が大きくなつた影響を大きく受け、強度の増加率が大きくなる。また細長比による強度増加率の差は小さい。Table 3 には、このハイブリッドアーチの設計で得られる強度を Table 1, 2 と同様に示した。

以上から、本報告で示した設計法により、設計の基準として用いるには良い精度で 固定アーチの終局強度が得られた。

参考文献

小松定夫・新家敏: アーチの面内耐荷力の実用算定式について、土木学会論文報告集第 267 号 1977 年 11 月

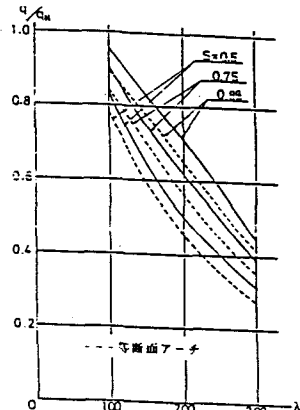


Fig. 4 変断面アーチの終局強度

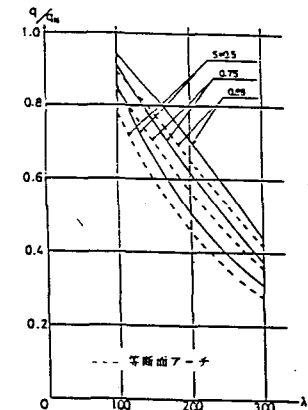


Fig. 5 ハイブリッドアーチの終局強度

Table 1 終局強度の比 (等断面アーチ)

λ	S	
100	0.50	0.912
	0.75	0.941
	0.99	0.952
200	0.50	0.938
	0.75	1.000
	0.99	1.026
300	0.50	1.004
	0.75	0.999
	0.99	1.006

Table 3 終局強度の比

(ハイブリッドアーチ)

λ	S	
100	0.50	0.945
	0.75	0.926
	0.99	1.003
200	0.50	0.911
	0.75	0.998
	0.99	0.928
300	0.50	1.000
	0.75	1.084
	0.99	0.936